

Relación de dispersión de ondas de tensión superficial

1. Objetivos de la práctica

1. Verificar la ley de Hagen-Poiseuille a partir de la experimentación con fluidos newtonianos que circulando a través de conductos capilares de diferentes diámetros.
2. Caracterizar el régimen de circulación del fluido mediante el número de Reynolds.
3. Determinar el coeficiente de rozamiento del conducto capilar.

2. Resumen teórico

A causa de la diferencia de presión entre los extremos de un tubo, se produce el flujo del fluido que contiene. Si registramos las velocidades volumétricas de flujo Q en función de la diferencia de presión Δp , vemos que la curva viene dada por las propiedades del fluido en cuestión y la geometría del tubo. El régimen del fluido se puede caracterizar por el número de Reynolds:

$$Re = \frac{\nu \rho D}{\mu}$$

siendo ν la velocidad del flujo, ρ la densidad, μ el coeficiente de viscosidad dinámica y D una longitud característica del sistema, que para un fluido circulando por un tubo se considera su diámetro.

Un bajo número de Reynolds, aproximadamente por debajo de 2000, se considera régimen laminar. En este régimen los fluidos presentan una elevada viscosidad y circulan a baja velocidad, o circulan por tuberías de pequeña sección.

Un alto número de Reynolds, por encima de 3000, se llama régimen turbulento, y los fluidos tienen baja viscosidad y alta velocidad o avanzan por

tuberías de gran sección. Para un fluido se puede identificar el cambio de régimen laminar a turbulento en la gráfica de Q frente a Δp . El valor del número de Reynolds en ese punto es el llamado Reynolds crítico.

Por la ley de Hagen-Poiseuille, podemos obtener la velocidad promedio como

$$U = \frac{Q}{\pi R^2} = \frac{R^2 \Delta p}{8\mu l}$$

Con esta velocidad promedio U se puede calcular el número de Reynolds, Re , usando U como velocidad característica ν y el diámetro d como longitud característica D .

$$Re = \frac{\nu \rho D}{\mu} = \frac{U \rho d}{\mu}$$

El coeficiente de rozamiento λ o coeficiente de resistencia de Darcy-Weisbach se usa para evaluar las pérdidas viscosas. Podemos obtener λ con la expresión

$$\lambda = \frac{d}{L} \cdot \frac{\rho g h_f}{\frac{1}{2} \rho U^2} = \frac{d}{L} \cdot \frac{\Delta p}{\frac{1}{2} \rho U^2}$$

Para tubos horizontales de sección circular y régimen laminar, el factor de fricción es

$$\lambda = \frac{64}{Re}$$

El coeficiente de rozamiento λ frente a Re para distintos valores de h/d para una forma de conducto fija se representa en los llamados diagramas de Moody, que generalmente están en escala log-log.

3. Procedimiento experimental

1. Insertamos el capilar de vidrio con el diámetro a estudiar en el tubo vertical y lo sujetamos en posición horizontal con una pinza.
2. Nivel el tubo vertical y el capilar horizontal.
3. Conectamos la manguera al grifo y rellenar el tubo vertical de agua hasta aproximadamente 40 cm de altura.
4. Medimos la temperatura de este agua en el interior del tubo y determinamos el valor de la viscosidad dinámica

5. Con el agua fluyendo por el tubo capilar, regulamos el caudal del grifo llenando el tubo vertical para que el nivel del agua se mantenga constante en una misma altura, de modo que el caudal de salida por el capilar coincide con el caudal de entrada del grifo.
6. Recogemos en un vaso de precipitados el agua que se vierte del tubo capilar en un intervalo de 10s para diferentes alturas del nivel del agua.
7. Determinamos el diámetro del tubo capilar según la cantidad máxima de masa de agua que puede llegar a contener. Para ello rellenamos el tubo con agua, lo vertemos en un vaso de precipitados, que posteriormente pesamos.



Figura 1: Dispositivo experimental: tubo vertical conectado a tubo de menor sección horizontal, con una manguera podemos introducir más agua en el tubo

4. Tablas de medidas

El tubo horizontal tiene una regla graduada en sentido descendente que nos permitirá ajustar la altura de agua a correctos intervalos, estas distancias son la medida D . El valor real de la altura, h , lo obtenemos restando D a la altura real en el tubo a la que situamos el origen de la regla, 98 ± 1 cm.

La medida de masa del vaso con agua es m_{tot} , que restando la masa del vaso vacío nos da la masa de agua

$$m_{tot} = m_{agua} + m_{vaso}$$

$$m_{vaso} = 182,86 \pm 0,01\text{g}$$

Obtenemos el caudal y su error calculado por propagación de errores

$$Q = \frac{m_{agua}}{\rho t}$$

$$\Delta Q = \frac{1}{\rho t} \Delta m + \frac{m}{t \rho^2} \Delta \rho + \frac{m}{\rho t^2} \Delta t$$

La diferencia de presión con su error

$$\Delta p = \rho g h$$

$$\Delta(\Delta p) = g h \Delta \rho + \rho h \Delta g + \rho g \Delta h$$

D (cm)	h (cm)	m_{tot} (g)	m_{agua} (g)	Q (cm ³ /s)	ΔQ	Δp (cm ⁻¹ s ⁻² g)	$\Delta\Delta p$
30,0	68,0	269,12	86,26	8,6	0,4	66500	300
35,4	62,6	262,86	80,00	8,0	0,4	61300	300
40,4	57,6	261,28	78,42	7,8	0,4	56400	300
45,0	53,0	257,62	74,76	7,5	0,4	51900	300
50,0	48,0	257,03	74,17	7,4	0,4	45000	300
55,2	42,8	251,52	68,66	6,9	0,4	51900	300
60,2	37,8	250,47	67,61	6,8	0,3	37000	300
65,2	32,8	248,30	65,44	6,5	0,3	32100	300
70,2	27,8	243,77	60,91	6,1	0,3	27200	300
75,0	23,0	235,59	52,73	5,3	0,3	22500	200
80,0	18,0	225,24	42,38	4,2	0,2	17600	200
82,0	16,0	222,14	39,28	3,9	0,2	16000	200
84,0	14,0	217,59	34,73	3,5	0,2	13700	200
86,0	12,0	214,03	31,17	3,1	0,2	11700	200
88,0	10,0	209,26	26,40	2,64	0,14	9800	200
90,0	8,0	204,77	21,91	2,19	0,11	7800	200
91,0	7,0	202,50	19,64	1,96	0,10	6900	200
92,0	6,0	199,51	16,65	1,67	0,09	5900	200
93,3	4,7	194,69	11,83	1,18	0,06	4600	200
93,9	4,1	192,73	9,87	0,99	0,05	4000	200
94,6	3,4	190,44	7,58	0,76	0,04	3300	200
95,0	3,0	188,95	6,09	0,61	0,03	2900	200
95,7	2,3	187,20	4,34	0,43	0,02	2300	200
96,6	1,4	185,01	0,215	0,013	0,01	1400	200

ΔD	Δh	Δm_{tot}	Δm_{agua}
$\pm 0,1$	$\pm 0,2$	$\pm 0,01$	$\pm 0,02$

Tabla 1: Caudal y diferencia de presión en función de la masa de agua expulsada a distintas alturas

5. Gráficas

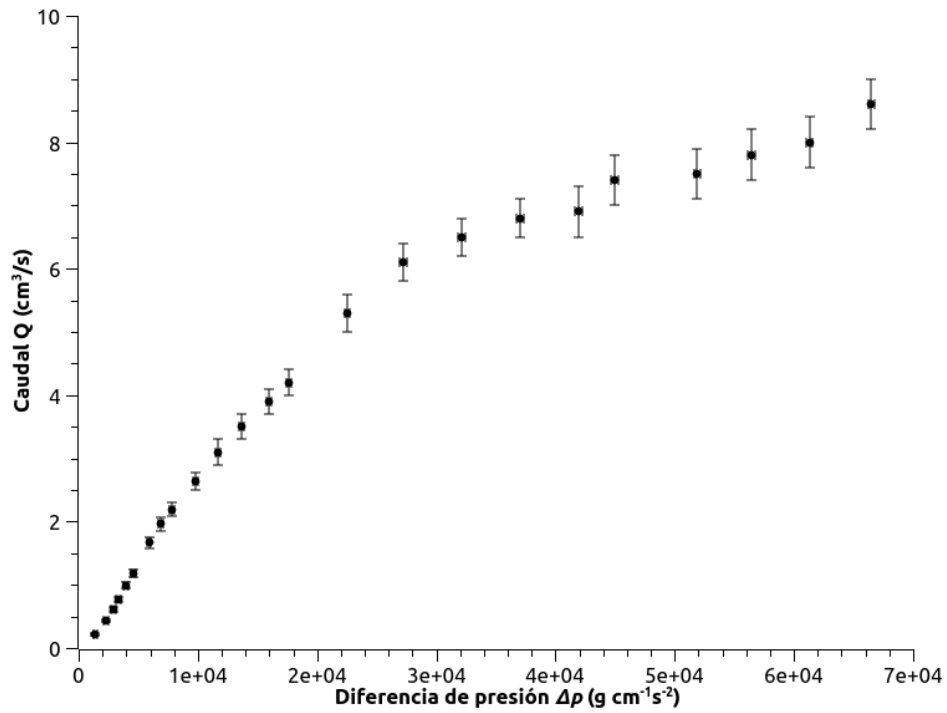


Figura 2: Representación del caudal frente diferencia de presión para distintas alturas del agua

Δp [X]	$\Delta\Delta p$ [err X]	Q [Y]	ΔQ [err Y]
66500	300	8,6	0,4
61300	300	8	0,4
56400	300	7,8	0,4
51900	300	7,5	0,4
45000	300	7,4	0,4
41900	300	6,9	0,4
37000	300	6,8	0,3
32100	300	6,5	0,3
27200	300	6,1	0,3
22500	200	5,3	0,3
17600	200	4,2	0,2
16000	200	3,9	0,2
13700	200	3,5	0,2

11700	200	3,1	0,2
9800	200	2,64	0,14
7800	200	2,19	0,11
6900	200	1,96	0,10
5900	200	1,67	0,09
4600	200	1,18	0,06
4000	200	0,99	0,05
3300	200	0,76	0,04
2900	200	0,61	0,03
2300	200	0,43	0,02
1400	200	0,215	0,013

Tabla 2: Tabla de datos de la Figura 2

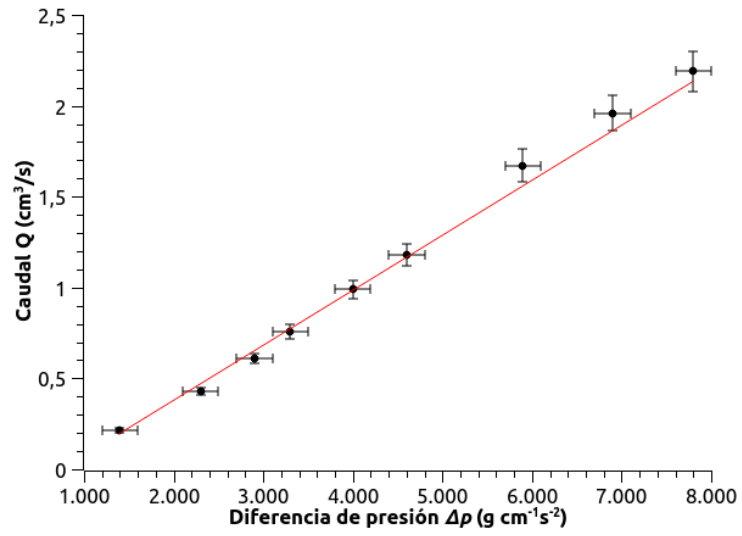


Figura 3: Región laminar de la Figura 2

Δp [X]	$\Delta\Delta p$ [err X]	Q [Y]	ΔQ [err Y]
7800	200	2,19	0,11
6900	200	1,96	0,1
5900	200	1,67	0,09
4600	200	1,18	0,06
4000	200	0,99	0,05
3300	200	0,76	0,04
2900	200	0,61	0,03
2300	200	0,43	0,02
1400	200	0,215	0,013

Tabla 3: Tabla de datos de la Figura 3

6. Discusión de resultados

7. Conclusiones